

# تأثیر چرخه‌های حرارتی بر دمای تبدیل<sup>۱</sup> و برگشت پذیری شکل در آلیاژ

## حافظه‌دار<sup>۲</sup> Al<sup>۳</sup>/Zn<sup>۴</sup>/Cu<sup>۵</sup>/Ti<sup>۶</sup>

سید خطیب الاسلام صدرتیاز (استاد)

حميد خرسند (دانشجوی دکترا)

عبدالرضا نانگير (کارشناس)

دانشکده‌ی مهندسی و علم مواد

دانشگاه صنعتی شریف

هدف این بررسی مشخص کردن چگونگی و میزان تأثیر چرخه‌های حرارتی بر دماهای تبدیل و خاصیت حافظه‌داری در آلیاژ دارای ۸۵/۶۹ درصد وزنی مس، ۸/۷۷ درصد وزنی روی، ۲/۹۲ درصد وزنی آلمینیم و ۵/۰ درصد وزنی تیتانیم است. برای این منظور ابتدا آلیاژ مورد نظر از طریق ذوب در کوره برقی، و سپس ریخته گری در قالب فولادی تولید شد. سپس برای ایجاد اثر حافظه‌داری، عملیات ترمومکانیکی (همگنسازی، نورد گرم و آبدادن<sup>۷</sup> سریع در مخلوط آب و یخ) بر آلیاژ انجام شد. آنگاه مقاومت الکتریکی بر حسب دما اندازه‌گیری و رسم شد. برای تعیین تأثیر چرخه‌های حرارتی<sup>۸</sup> بر دمای تبدیل، ۱۳۶ چرخه شامل آبدادن آلیاژ با از مایع به میزان کمتر از دمای شروع تشکیل مارتنتزیت (Ms)، و گرم کردن به میزان بیش از دمای خاتمه تولید آستنیت (Af)، بر آلیاژ اعمال شد. مطالعات ساختاری و دماستنجی نشان داد که با افزایش تعداد چرخه‌ها، تیغه‌های مارتنتزیت تدریجاً درشت‌تر، درصد حجمی مارتنتزیت باقی‌مانده کمتر، حلقه‌های پسماند<sup>۹</sup> حرارتی کوچک‌تر، و سرانجام خاصیت بازگشت شکل<sup>۱۰</sup> کمتر می‌شود.

### مقدمه

«متالورژی پودر» و «اتصال نفوذی» به عنوان گرانی نسبی پودر و زمان‌بربودن عملیات، از نظر اقتصادی چندان مقرن به صرفه نیست.<sup>[۶ و ۷]</sup> یکی از عوامل اساسی در کاربرد برنج‌های حافظه‌دار، دمای تبدیل است. تحقیقات نشان می‌دهد که در برنج حاوی ۶/۴ درصد وزنی روی، اعمال ۵۰ چرخدی حرارتی می‌تواند دمای Ms را تا حدود ۵۰°C افزایش دهد.<sup>[۸ و ۹]</sup> تحقیق دیگر درخصوص برنج حاوی ۶۳/۳۹ درصد وزنی روی نشان می‌دهد که اعمال همین تعداد چرخدی حرارتی، دمای Ms را حدوداً ۳۰°C کاهش می‌دهد.

بنابراین به نظر می‌رسد که در باره‌ی تأثیر چرخه‌های حرارتی بر دمای تبدیل مارتنتزیت در سیستم برنج «بتا» اطلاعات کاملاً روش و قانونمندی وجود ندارد. بنابراین، دسترسی به اطلاعات لازم مستلزم طراحی نمونه‌یی از آلیاژ حافظه‌دار برنجی، و قراردادن آن تحت چرخدی‌های پی در پی حرارتی است.

### طراحی یک نمونه آلیاژ حافظه‌دار

در این طراحی، برای ساخت آلیاژ حافظه‌دار برنجی، نوعی کوره‌ی الکتریکی مقاومتی، حاوی دو محفظه‌ی ذوب در نظر گرفته شد. هر محفظه‌ی این کوره شامل یک بوته‌ی گرافیتی بود که برای نگهداری و

گرم کشسان<sup>۱۱</sup>، در بسیاری از آلیاژها و از جمله برنج آلمینیم دار Cu-Zn-Al مورد توجه و تحقیق قرار گرفته است.<sup>[۱۲ و ۱۳]</sup> حافظه‌داری در تبدیل از مارتنتزیت به آستنیت پدیدار می‌شود، به گونه‌یی که اگر بر نمونه‌ی آلیاژ در حالت کاملاً مارتنتزیتی تغییر شکل معینی اعمال شود با برگشت به حالت آستنیتی، کرنش ذخیره شده را آزاد کرده و به شکل اولیه‌ی خود بر می‌گردد.

کاربرد آلیاژهای حافظه‌دار اخیراً افزایش چشمگیری یافته است. از جمله می‌توان به کاربرد این مواد در ترموموستات‌های حرارتی، ابزارهای اتصال استخوان، میخ‌های ارتسودی، اتصالات فلزی، کلیدهای خودکار، قاب‌های عینک، سیستم‌های کنترل خودرو و حتی قطعات در معرض تصادف در بدنه‌ی اتومبیل اشاره کرد.<sup>[۱۴ و ۱۵]</sup> برای ساخت برنج‌های حافظه‌دار از روش‌های متنوعی مانند «ذوب و ریخته گری»، «متالورژی پودر» و «اتصال نفوذی» استفاده می‌شود، که در این میان روش «ذوب و ریخته گری» در مقایسه با دیگر روش‌ها، ساده‌تر است. برای مثال، عناصر سازنده را در یک کوره‌ی برقی القایی یا قوسی می‌توان بار کرد و تحت اتمسفر کنترل شده، ذوب و سپس ریخته گری کرد.<sup>[۱۶ و ۱۷]</sup> استفاده از روش‌های

آهنی قرار گرفته و روی آن با گرافیت و در آن با گل نسوز پوشانیده شد.

پس از همگن‌سازی، آلیاژ تا ضخامت ۵mm نورد گرم، و سپس نمونه‌های کوچک‌تری به ابعاد ۲mm × ۰.۵mm × ۰.۶mm تسمیه نورده شده تهیه شد. برای ایجاد خاصیت حافظه‌داری، به نمونه‌ها شکل خاصی داده شد و سپس به مدت ۱۰ دقیقه در دمای ۸۵۰°C قرار گرفتند تا فاز بتا در آنها پایدار شود. سپس در مخلوط آب و یخ سریعاً سرد شدند.

برای اندازه‌گیری دمای تبدیل، دستگاهی ساخته شد متشکل از سه بخش: (الف) بخش الکترونیکی که مقاومت الکتریکی را بادقت ۱۰⁻۶ اهم اندازه‌گیری می‌کرد؛ (ب) بخش تجهیزات مربوط به سرد و گرم کردن، که از نیتروژن مایع و از آب گرم استفاده می‌کرد؛ (ج) سیستم سخت‌افزاری A/D و رایانه که در صورت اتصال به دستگاه مقاومت‌سنج، اطلاعات را دریافت و منحنی‌های مقاومت الکتریکی را بر حسب دما رسم می‌کرد. ترموکوپی از نوع Pt ۱۰۰ درجه ۱°C ± ۱°C اندازه‌گیری می‌کرد.

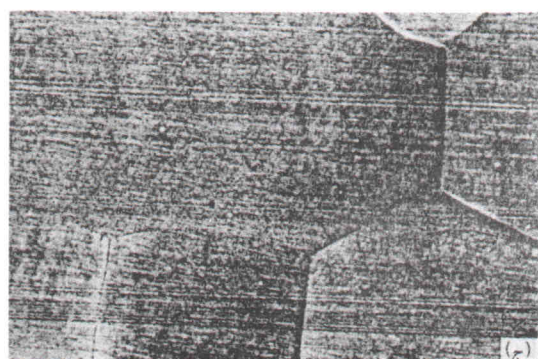
سرد و گرم کردن‌های متوالی تا زیر دمای Mf و تا بالای دمای Af، دمای تبدیل آلیاژ را دستخوش تغییراتی می‌ساخت. برای بررسی این تغییرات، آلیاژ ساخته شده تحت ۳، ۱۰، ۲۱، ۵۶ و ۱۲۶ چرخه‌ی

گرم کردن بوته‌ی آلمینیمی حاوی مواد اولیه‌ی فلزی به کار می‌رفت. این آلیاژ از قطعات مس با خلوص ۹۹/۹۹ درصد (ساخت شرکت صنایع مس ایران)، روی با خلوص ۹۹/۹۹ درصد (محصول فنلاند)، آلمینیم با خلوص ۹۹/۹ درصد (محصول شرکت ایرالکو) و تیتانیم اسفنجی با خلوص ۹۹/۴ درصد (به عنوان جوانه‌زا) ساخته شد. ذوب کردن این قطعات، با استفاده از یک بوته‌ی آلمینیا به قطر ۵cm و ارتفاع ۸cm و ظرفیت ۳۵۰ گرم انجام گرفت.

برای ریخته‌گری، لازم بود ابتدا قالب‌های فولادی تخت تا ۴۰۰°C پیش گرم شوند. دمای کوره‌ی ذوب توسط یک رشته ترموکوپیل از نوع Pt-Pt/Rd اندازه‌گیری، و سپس به کمک یک دستگاه نمایشگر خوانده شد.

آزمایش نشان داد که به هنگام افزودن روی (دمای ذوب برابر ۴۱۹°C و دمای تبخیر برابر ۹۰۷°C) به مس مذاب (دمای ذوب برابر ۱۰۸۳°C) حدود ۱۶ درصد از روی تلف می‌شود. مقدار این اتلاف برای آلمینیم حدود ۸ درصد بود. بنابراین، لازم بود مقدار مواد اولیه مورد نظر در هر بار تصحیح شود.

آلیاژ ریخته شده به مدت ۲۴ ساعت در یک کوره‌ی الکتریکی و در درجه‌ی حرارت ۸۵۰°C همگن شد. طی این مدت، برای جلوگیری از جذب اکسیژن و نیتروژن هوا، نمونه داخل یک ظرف



شکل ۱. ساختار میکروسکوپی آلیاژ بعد از: (الف) ریخته گری؛ (ب) همگن‌سازی؛ (ج) نورد گرم؛ (د) عملیات آبدادن سریع.

جدول ۱. تأثیر ۳۰ دقیقه پیری در دمای  $100^{\circ}\text{C}$  بر دماهای تبدیل

$\Delta = \text{Af} - \text{Ms}$	Af	As	Mf	Ms	دماهای تغییر حالت
۳	۲۷	۱۱	-۱۷	۲۴	بعد از عملیات آبدادن ( $^{\circ}\text{C}$ )
۴	۲۸	۹	-۲۰	۲۴	بعد از عملیات پیرسازی ( $^{\circ}\text{C}$ )

شده است. این تأثیر می‌تواند سبب بسط منحنی پسماند ( مقاومت الکتریکی بر حسب دما) در امتداد محور دما شود.<sup>[۱۱۹]</sup> علت این پدیده، نزدیک شدن فاز مارتنتزیت به شرایط تعادل و تشکیل فازهای شبه متعادل جدید در زمینه است. این تغییر در کاربردهایی که تغییر شکل سریع نیاز دارند مطلوب نیست (شکل ۲).

تأثیر چرخه‌های حرارتی بر دمای تبدیل و میزان برگشت پذیری<sup>۹</sup> تاکنون نتایج کامل و نظاممندی درخصوص تأثیر چرخه‌های حرارتی بر دماهای تبدیل آلیاژهای برنج گزارش نشده است. بسته به نوع سیستم آلیاژی، ترکیب شیمیابی نمونه، تاریخچه عملیات حرارتی و یک طرفه یا دوطرفه بودن آلیاژ، تأثیر چرخه‌های حرارتی بر آلیاژهای حافظه دار متفاوت است. تأثیر تعداد چرخه‌های حرارتی بر دماهای تبدیل آلیاژ طراحی شده در این تحقیق در شکل ۳ نشان داده شده است.

حرارتی قرار گرفته، و دمای تبدیل آن هریار اندازه گیری شد.

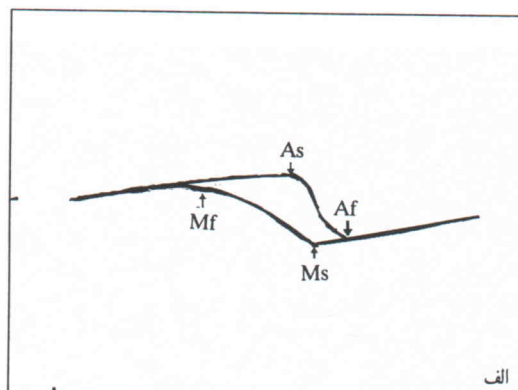
#### ساختار میکروسکوپی آلیاژ طراحی شده

در شکل ۱-الف) ساختار میکروسکوپی آلیاژ بعد از عملیات ریخته گری نشان داده شده است. این ساختار شامل دندربیت<sup>۷</sup> های آلفا و بتاست. شکل ۱-ب) ساختار میکروسکوپی آلیاژ را بعد از عملیات همگن‌سازی نشان می‌دهد. چنان که مشاهده می‌شود، با قرار گرفتن آلیاژ به مدت ۲۴ ساعت در دمای  $85^{\circ}\text{C}$  دانه‌ها رشد کرده و دندربیت‌ها بزرگ می‌شوند. شکل ۱-ج) ساختار میکروسکوپی آلیاژ را بعد از نورد گرم نشان می‌دهد. براثر نورد گرم، دانه‌ها در یک جهت کشیده می‌شوند و ابعادشان وسیع تر می‌شود. شکل ۱-د) تیغه‌های مارتنتزیت به وجود آمده را پس از عملیات بتاسازی و آبدادن سریع که عامل ایجاد خاصیت حافظه داری هستند، نشان می‌دهد. وجود فاز آلفا در لایای تیغه‌های مارتنتزیت می‌تواند به علت پایین بودن سرعت آبدادن و نزدیکی به حالت تعادل باشد.

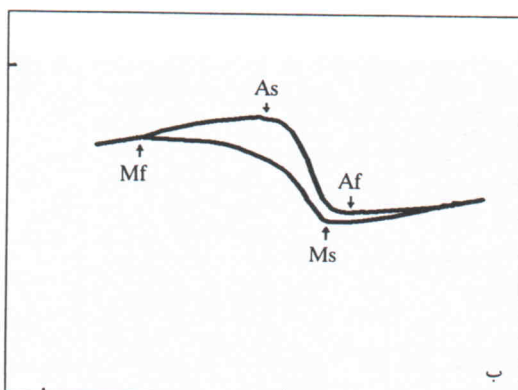
چگونگی ایجاد تیغه‌های مارتنتزیت در آلیاژهای حافظه دار با آلیاژهای معمولی فرق دارد؛ به این ترتیب که در آلیاژهای حافظه دار این تیغه‌ها با به کارگیری سازوکار دوقلویی، ولی در آلیاژهای معمولی از طریق سازوکار لغزش به وجود می‌آیند. سازوکار دوقلویی سبب ذخیره‌ی کرنش در فاز مارتنتزیت و حافظه داری آن براثر تبدیل مجدد به آستانتیت می‌شود، در حالی که سازوکار لغزش به تغییر شکل پلاستیک و ذخیره‌ی کرنش می‌انجامد.<sup>[۱۱۰]</sup>

#### بررسی خاصیت حافظه داری

برای بررسی خاصیت حافظه داری، نمونه با استفاده از نیتروژن مایع تا حدود  $50^{\circ}\text{C}$ -سرد، و سپس تا  $90^{\circ}\text{C}$  خم شد. سپس در مجاورت هوا قرار گرفت تا از محیط گرما دریافت کند و به شکل اول (قبل از خم شدن) برگردد. در این حالت بازگشت تقریباً به طور کامل می‌سرود. برای حفظ این خصوصیت، باید از پیرکردن<sup>۸</sup> نمونه - بویژه در نزدیکی دمای شروع ایجاد مارتنتزیت - خودداری کرد، چراکه پیری عامل بسیار مؤثری در سوق مارتنتزیت به سمت پایداری و کاهش قدرت بازگشت تنش و کرنش ذخیره شده است. این فرایند برای آلیاژهایی که دمای Mf آنها پایین تر از  $0^{\circ}\text{C}$  است اهمیت بسیاری دارد زیرا نمونه در دمای محیط به سرعت از کار افتاده می‌شود. در جدول ۱ تأثیر ۳۰ دقیقه پیری بر دمای تبدیل، در دمای  $100^{\circ}\text{C}$ ، نشان داده



الف



ب

شکل ۲. منحنی تغییرات مقاومت الکتریکی بر حسب دما: (الف) بعد از آبدادن، (ب) بعد از پیرکردن.

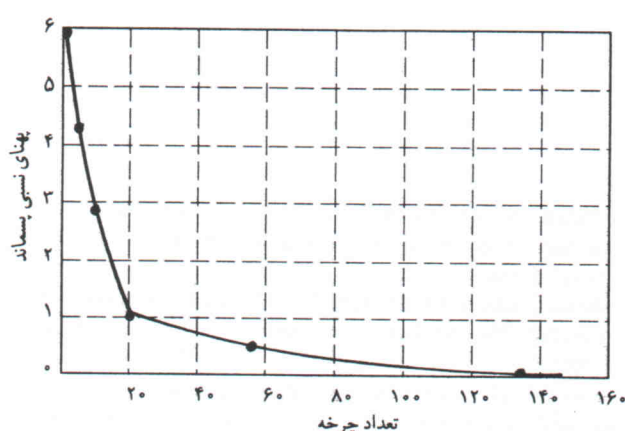
جدول ۲. نیز تأثیر تعداد چرخه‌های حرارتی را بر دماهای تبدیل.

نشان می‌دهد. دماهای Ms و Mf با افزایش تعداد چرخه‌ها، افزایش یافته و سپس تقریباً ثابت می‌مانند، در حالی که دمای Af با افزایش تعداد چرخه‌های حرارتی، ابتدا سریع تر و سپس با آهنگی کندتر افزوده می‌شود. دمای As نیز ابتدا با افزایش تعداد چرخه‌های حرارتی افزون تر می‌شود، ولی بعد کاهش می‌باید.

شکل ۴ تأثیر تعداد چرخه‌های حرارتی را بر مقاومت الکتریکی، بر حسب دما، و شکل ۵ تأثیر کاهنده‌ی این چرخه‌ها را بر پهنانی حلقه‌ی پسماند نشان می‌دهد. این تأثیر به خصوص طی ۲۰ چرخه اول کاملاً محسوس است. در شکل ۶ تأثیر اعمال چرخه‌های حرارتی بر اندازه‌ی تیغه‌های مارتنزیت مشخص شده است. مقایسه‌ی ریزساختارهای ارائه شده، نشان دهنده‌ی درشت شدن تدریجی تیغه‌های مارتنزیت بر اثر اعمال چرخه‌های حرارتی است. بررسی این ریزساختارها نشان می‌دهد که درشت شدن تدریجی تیغه‌های مارتنزیت با کاهش درصد مارتنزیت باقی‌مانده و حذف خاصیت حافظه‌داری توأم است (شکل ۷).

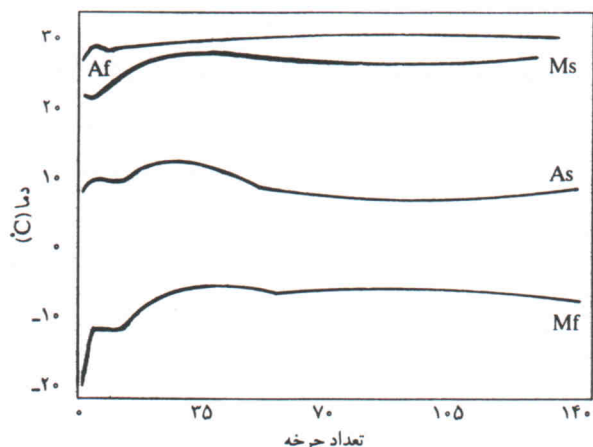
مقایسه‌ی اطلاعات فلزنگاری ۱۰ با خواص حافظه‌داری، نشان می‌دهد که رشد ضخامت تیغه‌های مارتنزیت همراه با کاهش درصد مارتنزیت باقی‌مانده به علت تشکیل نقص‌های ساختاری همچون نابهجهایی در زمان اعمال چرخه‌های حرارتی در مرز مارتنزیت با فاز مادر است که با جلوگیری از ایجاد مارتنزیت‌های جدید، باعث کاهش حجم نسبی دوقلوهای متحرک شده و خواص حافظه‌داری را پایین می‌آورد.<sup>[۸]</sup> کاهش درصد مارتنزیت باقی‌مانده و برگشت حافظه (شکل ۸) بر اثر افزایش تعداد چرخه‌های حرارتی مؤید این مطلب است.

برای تعیین میزان حافظه‌داری در این طراحی، ابتدا نمونه را به

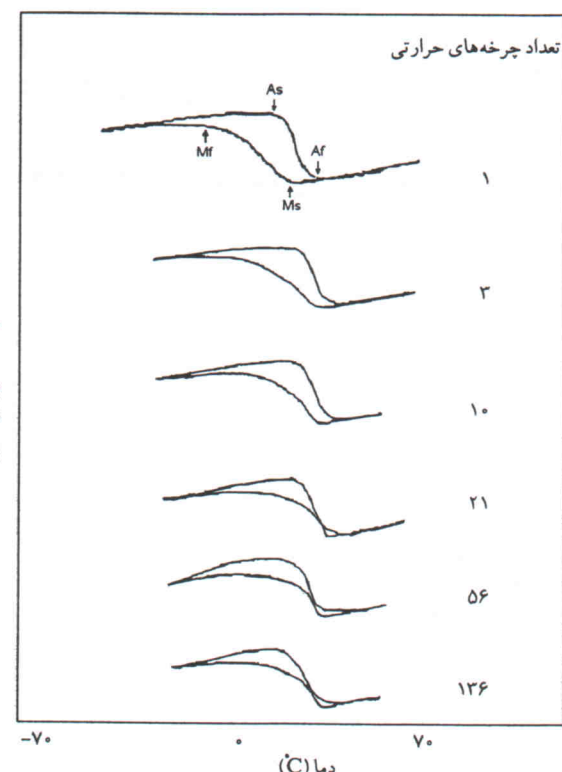


شکل ۵. تأثیر تعداد چرخه‌های حرارتی بر پهنانی حلقه پسماند.

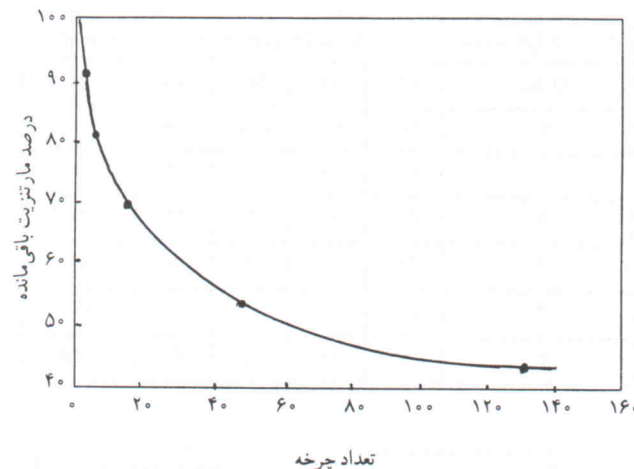
تعداد چرخه	دماهای تغییر حالت (°C)				پسماند حرارتی (°C)
	Af	As	Mf	Ms	
۱	۲۷	۱۱	-۱۷	۲۴	۳
۳	۳۱	۱۲	-۱۰	۲۴	۷
۵	۳۱	۱۲	-۱۰	۲۶	۵
۱۰	۳۲	۱۵	-۵	۳۰	۲
۲۱	۳۳	۱۱	-۴	۳۰	۳
۵۶	۳۳	۱۱	-۵	۳۰	۳
۱۳۶	۳۳	۱۱	-۵	۳۰	۳



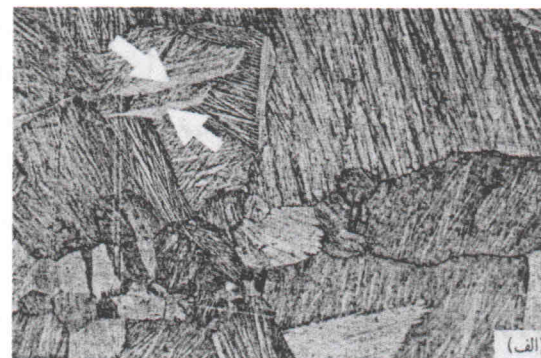
شکل ۳. تأثیر تعداد چرخه‌های حرارتی بر دماهای تبدیل.



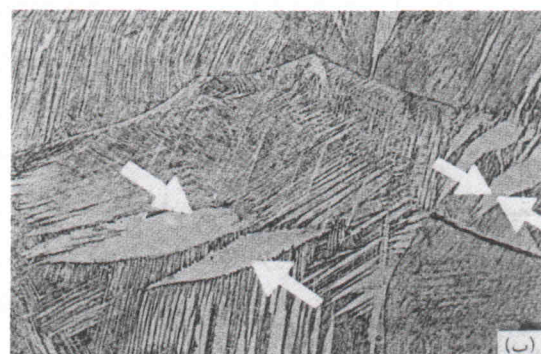
شکل ۴. تأثیر دما و تعداد چرخه‌های حرارتی بر مقاومت الکتریکی.



شکل ۷. تأثیر تعداد چرخه‌های حرارتی بر درصد مارتنزیت باقیمانده.

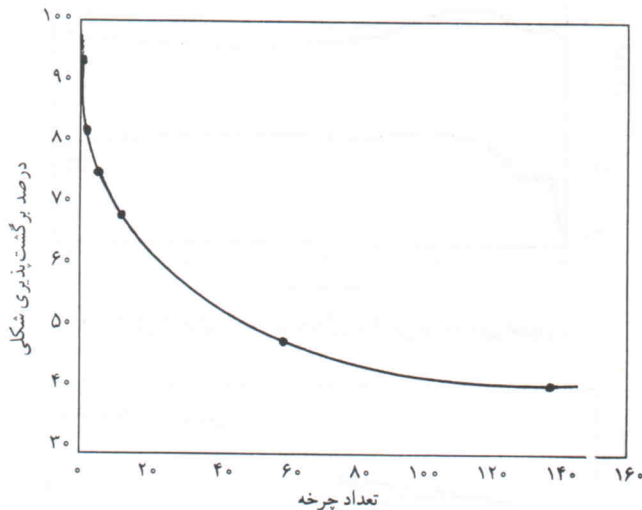


(الف)



(ب)

شکل ۶. تصویر ریزساختار آلیاژ: (الف) بعد از آبدادن  $X100$ ; (ب) پس از  $136$  چرخه‌ی حرارتی. چند نمونه از تیغه‌های مارتنزیت، برای مقایسه با علامت فلش مشخص شده‌اند.



شکل ۸. تأثیر تعداد چرخه‌های حرارتی بر بروگشت پذیری شکلی آلیاژ.

دمای پایداری مارتنزیت رسانده، آن را به میزان  $50^{\circ}\text{C}$  کردیم. سپس با افزایش دمای نمونه تا بالای دمای Af، میزان بازگشت زاویه (D) را اندازه‌گیری، و درصد حافظه‌داری شکل را با استفاده از زاویه‌ی اندازه‌گیری شده، از رابطه‌ی  $2D = \text{برگشت پذیری شکلی} / \text{محاسبه کردیم. در شکل ۸ نتایج به دست آمده ارائه شده است.}$

## پابلوشت

1. transformation temperature
2. quenching
3. thermal cycling
4. hysteresis
5. shape recovery
6. thermoelastic
7. dendrite
8. ageing
9. reversible
10. metallography

## منابع

1. Otsuka, K. and Shimizu, K. "Pseudoelasticity and shape memory effects in alloys", *International Metals Reviews*, pp. 93-114, (1986).
2. Michael, A.D. and Hart, W.B. "SME brass, a new engineering material"; *The Metallurgist and Materials Technologist*, p. 434, (1980).
3. Stoeckel, D. "Shape-memory alloys, prompt new actuator designs" *Advanced Materials and Processes*, 10/90, pp. 33-38.
4. Borden, T. "Shape-memory alloys : forming a tight fit", *Mechanical Engineering*, pp. 67-72, (Oct. 1991).

5. Sadrnezhaad, K., Mashhadi, F. and Sharghi, R. "Heat treatment of Ni-Ti alloy for improvement of shape memory effect", *Materials and Manufacturing Processes*, **12**, No. 1, pp. 107-115, (1997).
6. Zarandi, F.M. and Sadrnezhaad, K. "Thermomechanical study in combustion synthesized Ti-Ni shape memory alloy", *Materials and Manufacturing Processes*, **12**, No. 6&9, pp. 1093-1105, (1997).
7. محمدنیا، علی؛ حسینی، سعید؛ صدرنژاد، خطیب‌الاسلام. پایان‌نامه کارشناسی مهندسی متالورژی دانشگاه صنعتی شریف، شهریور ۱۳۷۳.
8. Shimizu, K. "Aging and thermal cycling effects in shape memory alloys", *J.Electron Microsc*, **34**, No. 4, pp.277-288, (1985).
9. Li, J. and Ansell, G.S. "The effect of thermal cycling on the thermoelastic martensitic transformation in a Cu-Zn-Al alloy", *Metallurgical Transactions A.*, **14A**, pp. 1293-1297, (July, 1983).
10. Dunne, D.P. and Kennon, N.F. "The structure of martensite in a Cu-Zn-Al alloy", *Scripta Metallurgica*, **16**, pp. 729-734, (1982).
11. صدرنژاد، خطیب‌الاسلام و احمدیان، حمید. «خواص حافظه‌داری در آیاز مس-روی-آلومینیم». مجله استقلال، سال ۱۷، شماره ۲، اسفند ۱۳۷۷، صص. ۱۳۹-۱۵۳.